

Steganography Audio Based on Zero-Tree Wavelet Transform Algorithm

R. Esfahani*, A. R. Matinfar

Abstract

Audio steganography is very important, equally steganography in other media (image, video, etc.). In this paper is presented steganography of audio based on embedded zero-tree wavelet transform algorithm. Improving the resistance against white noise and additive noise with the lowest SNR is one of the important topics in steganography. The proposed algorithm is more robust against normal white noise than uniform noise and has a bit error rate of less than 1 bit against SNRs higher than 10db. According to the obtained BER, if the proposed algorithm is attacked, the hidden signal is lost completely. Also, the proposed method is resistant against additive noise. The proposed algorithm has the least changes in the sound smoothness criterion in frequency domain with Capstrom distance scale and audio files in the form of music with soft tone (loudness), and the increase of secret message does not have much effect on creating disturbances in the frequency domain. The proposed algorithm of the frequency spectrum does not change the audio signal much, and it also follows the property of the hearing threshold level, and high-pitched music with male speech has the best results, so it is favorable to the spectrum structure of Bark. Also, the proposed algorithm has favorable results in the time domain. The lowest SNR is related to high-pitched music with female speech, which has an SNR of about 13db. According to the obtained results, we will have the worst case of embedding a secret message by choosing the audio signal with female speech. Because there is a certain smoothness in the female speech signal. Therefore, this uniform state will be lost to some extent by embedding a secret message in this type of audio signal, and the CZD criterion will increase according to the component-by-component comparison of the two main signals and the signal containing the secret message.

Key Words: *Embedded Zero Tree Wavelet Transform (EZW), White Noise, Additive Error, BSD and MBSD Criteria, CDM Kapstrom Distance Scale, ISD and COSH Distance, Short Time Radon Transform STFR, SNR and CZD*

This article is an open-access article distributed under the terms and conditions of the Creative Commons Attribution (CC BY) license.

Publisher: Imam Hussein University

© Authors



نشریه علمی پژوهندگان غیرعلمی

سال چهاردهم، شماره ۳، پیاپی ۵۵ (پیاپی ۱۴۰۲)؛ صص ۱۳۰-۱۱۵

علمی - تدوینی

نهان‌نگاری در صوت مبتنی بر الگوریتم تبدیل موجک در خت صفر

درج شده

رضا اصفهانی^{*}، احمد رضا متین فر^۲

تاریخ دریافت: ۱۴۰۲/۱۰/۸

تاریخ پذیرش: ۱۴۰۲/۰۵/۱۶

چکیده

نهان‌نگاری در صوت همانند نهان‌نگاری در رسانه‌های دیگر (تصویر، ویدئو و ...)، از اهمیت ویژه‌ای برخوردار است. در این مقاله نهان‌نگاری در صوت مبتنی بر الگوریتم تبدیل موجک در خت صفر درجه شده ارائه شده است. ارتقاء مقاومت در برابر نویز سفید و نویز افزایشی با کمترین SNR یکی از موضوعات مهم در نهان‌نگاری است. الگوریتم پیشنهادی، در برابر نویز سفید نرم‌البصیر بیشتر از نویز یکنواخت مقاوم بوده و در برابر SNR های بالاتر از ۱۰dB نرخ بیت خطای کمتر از ۱ بیت دارد. در صورت حمله به الگوریتم پیشنهادی، با توجه به BER به دست آمده، سیگنال مخفی کاملاً تخریب می‌شود. همچنین روش پیشنهادی در برابر اضافه کردن نویز افزایشی مقاوم است. الگوریتم پیشنهادی در حوزه فرکانس با مقیاس فاصله کپسیتروم و فایل‌های صوتی به فرم موزیک با تُن (بلندی) ملایم، کمترین تغییرات را در معیار همواری صوت دارد و افزایش پیام مخفی تاثیر چندانی در ایجاد اختشاش در حوزه فرکانس ندارد. الگوریتم پیشنهادشده طیف فرکانسی، سیگنال صوتی را چندان تغییر نمی‌دهد و همچنین از خاصیت سطح آستانه شناوی پیروی می‌کند و موزیک تن بالا با گفتار مرد دارای بهترین نتایج می‌باشد بنابراین از هر جهت مساعد با ساختار طیف بارک می‌باشدند. همچنین الگوریتم پیشنهادی نتایج مطلوبی در حوزه زمان دارد. کمترین SNR مربوط به موزیک تن بالا با گفتار زن می‌باشد که دارای SNR_i در حدود 13dB می‌باشد. با توجه به نتایج حاصل شده، با انتخاب سیگنال صوتی با گفتار زن بدترین حالت درج پیام مخفی را خواهیم داشت. زیرا در سیگنال گفتار زن همواری خاصی محسوس است. بنابراین با درج پیام مخفی در این نوع سیگنال صوتی، تا حدودی این فرم یکنواختی از بین خواهد رفت و با توجه به مقایسه شدن مولفه به مولفه دو سیگنال اصلی و سیگنال حلوی پیام مخفی، میزان معیار CZD افزایش می‌یابد.

کلیدواژه‌ها: تبدیل موجک در خت صفر درجه شده (EZW)، نویز سفید، خطای افزایشی، معیار BSD و MBSD، مقیاس فاصله کپسیتروم CDM، فاصله ایتاكورا - سایتو ISD و فاصله COSH، تبدیل رادون زمان کوتاه STFRT و فاصله سزنا-کوشی CZD

* این مقاله یک مقاله با دسترسی آزاد است که تحت شرایط و ضوابط مجوز Creative Commons Attribution (CC BY) توزیع شده است.



نویسندهان

ناشر: دانشگاه جامع امام حسین (ع)

^۱ استادیار دانشگاه جامع امام حسین (ع)، تهران، ایران - resfahani@ihu.ac.ir - نویسنده مسئول

^۲ استادیار دانشگاه جامع امام حسین (ع)، تهران، ایران

۲- نهان‌نگاری در فایل صوتی

- در حالت کلی برای نهان‌نگاری در فایل‌های صوتی مراحل زیر انجام می‌شود:
- نحوه عملکرد کد کننده MPEG: در کد کننده MPEG، مدل فیزیوآکوستیک سیگنال‌های صوتی مورد آنالیز قرار می‌گیرد و میزان نویز ماسک شده موجود به عنوان تابعی از فرکانس محاسبه می‌شود.
 - طبیق (هم تراز کردن) زمانی داده‌های صوتی: در مدل فیزیوآکوستیکی که کمترین پیچیدگی را دارد، محدوده فرکانسی به ۳۲ زیرباند فرکانسی تقسیم می‌شود.^۵ در فشرده‌سازی داده با استفاده از الگوریتم MPEG برای هر باند بحرانی، از تکنیک بانک فیلتر استفاده می‌شود [۶]. که به طریقه رابطه (۱) محاسبه می‌شود.

$$S_t[i] = \sum_{k=0}^{63} \sum_{j=0}^7 M[i][k] \times (C[k + 64j] \times x[k + 64j]) \quad (1)$$

$M[i][k] = \cos \left[\frac{(2i + 1) \times (k - 16) \times \pi}{64} \right]$

که $C[k]$ همان پنجره ماسک کننده در مدل مورد استفاده شده می‌باشد. مدل فیزیوآکوستیک از یک نگاشت زمان به فرکانس مستقل و جدا به جای بانک فیلتر چند فازه استفاده می‌کند. زیرا به دقت وضوح فرکانس بیشتری در محاسبات تعیین سطح آستانه ماسک کننده نیاز دارد. طبق پیاده‌سازی نرم‌افزاری، یک وزن ده هانینگ^۶ بر روی داده‌ها قبل از تبدیل فوریه اعمال می‌شود تا اثرات لبه‌ها را در فریم صوتی کاهش دهد. تبدیل فوریه با توجه به طول پنجره آنالیز، ۵۱۲ در نظر گرفته می‌شود.

- فرایند محاسبات طیفی: در این مرحله، سطح بلندی هر طیف صوتی متناسب با زیر باند فرکانسی مورد نظر^۷ (L_{sb})، محاسبه می‌شود.
- مجزا کردن مقادیر طیفی به مولفه‌های ضربه و غیر ضربه‌ای: هر دو مدل ضربه و مولفه‌های شبه نویزی را از سیگنال صوتی تعیین و جدا می‌کنند. این امر به این دلیل می‌باشد که قابلیت ماسک گذاری این دو نوع سیگنال متفاوت است.
- اعمال یک تابع پخش کننده: توانایی ماسک کنندگی یک سیگنال داده شده در محدوده‌ی باند بحرانی سیگنال انتشار (پخش) می‌شود.
- قراردادن باند پایین برای مقادیر سطوح آستانه: هر دو مدل شامل یک سطح آستانه ماسک کننده مطلق (سطح آستانه سکوت) می‌باشند که از روی آزمایشات به دست آمده است.

⁵ فیلترشدن به ۳۲ زیر فضای یکسان وابسته به نرخ نایکوئیست سیگنال

⁶ Hanning

⁷ Level subband

۱- مقدمه

با توجه به وجود فرمتهای مختلف صوتی مانند Wma، Ra، Cdda، Mid و wav، می‌توان از این رسانه (صوت) برای هنر پنهان کردن اطلاعات در آن بهره جست. لذا بررسی ویژگی‌های صوت، فرمتهای و گذرهای صوتی، برای استفاده از روش‌های نهان‌نگاری در آن‌ها لازم و ضروری است [۳، ۲، ۱]. به طور کلی دو زیر فضای آنالوگ و زیر فضای دیجیتال برای محیط‌های صوت وجود دارد. برای ذخیره فایل‌های صوتی دیجیتال، مستقیماً از سیگنال صوتی آنالوگ نمونه‌برداری می‌شود. به عبارت دیگر فایل‌های صوتی دیجیتال از تبدیل صدای آنالوگ به حوزه دیجیتال به دست آمده‌اند. فرآیند تبدیل اصوات آنالوگ به دیجیتال شامل دو مرحله چندی‌سازی کردن و نمونه‌برداری زمانی می‌باشد. الگوی چندی‌سازی^۸: چندی‌سازی هر مقدار ورودی را به مقادیر گسسته تبدیل می‌کند. معمول‌ترین فرمتهای ذخیره صدا با کیفیت بالا استفاده از فرمتهای WAV^۹ یا AIFF استفاده می‌شود. مقداری از دامنه سیگنال‌های صوتی به وسیله این فرمت دچار اعوجاج می‌شود.

نرخ نمونه‌گیری زمانی: فرایندی است که مقادیر آنالوگ در تقسیمات زمانی منظم نمونه‌برداری می‌شوند. پر استفاده‌ترین نرخ نمونه‌گیری زمانی^{۱۰} برای صوت شامل 8KHz، 9.6KHz، 10KHz، 12KHz، 16KHz، 22.05KHz و 44.1KHz است. هستند. نرخ نمونه‌گیری تعداد نمونه‌های سیگنال صوتی است که در یک ثانیه از فریم صوت وجود دارد.

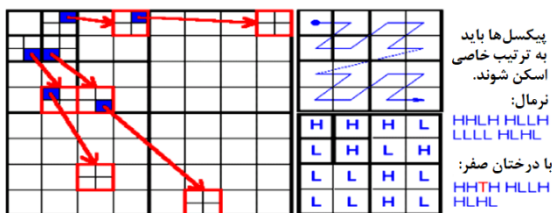
وسیله پخش یا محیط پخش در یک سیگنال صدا به محیطی گفته می‌شود که سیگنال در آن از کدکننده به گذگشا می‌رود. چهار محیط پخش شامل «محیط دیجیتالی نظری به نظیر»، «محیطی با استفاده از کم یا زیاد کردن و نمونه‌گیری مجدد»، «پخش آنالوگ و نمونه‌گیری مجدد» و «محیط هوا» است. محیط پخش و همچنین وسیله ذخیره سیگنال، در نوع الگوریتم‌هایی که برای پنهان کردن اطلاعات به کار می‌رود، اهمیت دارند [۴، ۵]. در بخش دوم موضوعات اولیه و اساسی نهان‌نگاری در فایل صوتی و تبدیل موجک درخت صفر درج شده (EZW) شرح داده شده است. ضرورت این یادآوری‌ها، به کاربرد و استفاده آن در الگوریتم پیشنهادی ارتباط دارد. در بخش سوم، روش پیشنهادی نهان‌نگاری در صوت مبتنی بر EZW ارائه شده است که شامل نحوه عملکرد سیستم، طراحی و نتایج پیاده‌سازی و ارزیابی الگوریتم پیشنهادی است.

¹ Quantisation

² Windows Audio Visual

³ Audio Interchange File Format

⁴ Temporal



شکل (۱): نمایش ترتیب پیماش ضرایب تبدیل موجک [۷، ۸].

هر چند که استفاده از درخت صفر موقعیت‌های بسیاری را برای کدکردن ایجاد می‌کند، اما چندین حالت متفاوت از پیمایش به شرطی که زیرباندهای کوچک‌تر تماماً قبل از رفتن به سطح بالاتر پیمایش شوند نیز امکان‌پذیر است [۹، ۱۰].

۳- روش پیشنهادی

۱-۳- خلاصه عملکرد سیستم در روش پیشنهادی

در این بخش هدف ارائه الگوریتم نهان‌نگاری جهت ذخیره داده مخفی در فایل‌های صوتی می‌باشد. اساس طراحی این الگوریتم برپایه "الگوریتم فشرده‌سازی درخت صفر در تصاویر" می‌باشد. این الگوریتم از ویژگی طبیعی که در تصاویر وجود دارد، استفاده می‌کند. ویژگی که در تصویر طبیعی وجود دارد، تمایل تصاویر به توزیع نرمال می‌باشد. بنابراین از میان ضرایب موجود در ترکیب تصویر، ضرایبی که بزرگتر باشند مولفه‌های اصلی سازنده تصویر به شمار می‌ایند. بنابراین در بیان تصویر می‌توان از ضرایب کوچکتر صرف نظر کرد. الگوریتم درخت صفر بیانگر این موضوع است که ضرایب بزرگ در تشکیل تصویر نقش اصلی و سازنده آن را دارند و ضرایب کوچکتر تنها سازنده جزئیات تصویر می‌باشند. در الگوریتم درخت صفر ضرایب تصویر بر اساس تبدیل موجک در ۳ یا ۴ مرحله بیان می‌شوند و در ادامه ضرایبی را که در تخمین هر مرحله از مقدار قبل کوچکتر باشند را به عنوان ضرایب کم اهمیت در نظر می‌گیرد. زیرا این ضرایب در هر مرحله تخمین تبدیل موجک تنها سازنده جزئیات در بخش قبل می‌باشند و ضرایب اصلی در مرحله اول تمامی این ضرایب را می‌توانند تحت پوشش قرار دهد زیرا ضرایب مرحله بالاتر، بزرگتر از ضرایب احتمالاً باشند.

از این ایده که در "الگوریتم درخت صفر ضرایبی" را می‌توان یافت که در تشكیل سیگنال کمترین تاشیر را دارند در نهان‌نگاری صوت استفاده شده است.

زیرا "همانند تصاویر، سیگنال‌های صوتی طبیعی نیز تمایل به توزیع نرمال دارند. علاوه بر آن سیگنال‌های صوتی واقعی، ترکیبی از چندین منبع صوتی مجزا می‌باشند که بر طبق اصل نرمال جمع بی‌نهایت سیگنال طبیعی با توزیع متفاوت، توزیع نرمال خواهد بود می‌توان این نتیجه را گرفت که سیگنال‌های طبیعی صوتی توزیع نرمال خواهند داشت".

- سطح آستانه سکوت، در باند پایین شنوازی صوت وجود دارد.
 - یافتن سطح آستانه ماسک کننده برای هر زیر باند: هر دو مدل فیزیوآکوستیکی، سطح آستانه ماسک کننده‌ای با دقیقیت تفکیک فرکانسی بالا برای هر زیر باند بطور مجزا محاسبه می‌کنند که توسط بانک فیلتر چند فازه به دست می‌آید.
 - محاسبه نسبت سیگنال به ماسک: این نسبت به عنوان نسبتی از انرژی سیگنال در طول زیر باند به حداقل سطح آستانه ماسک کننده‌ی در آن زیر باند محاسبه می‌شود. در ادامه مولفه‌های ضربه و غیر ضربه یک سیگنال به همراه فضای ماسک کننده‌ی این مولفه‌ها در مقابل سطح آستانه مطلقاً ماسک کننده‌گی نمایش داده شده است.

۱-۲- تبدیل موجک درخت صفر درج شده (EZW^(۱))

تبديل موجک گسسته یک سیگنال دلخواه x به صورت رابطه (۲) بیان می‌شود:

$$\text{DWT(Scale, Position)} = \sum_{n=1}^N f(n) \Psi(\text{Scale, Position}, n) \quad (4)$$

که (۴) Ψ توابع متنوعی می‌باشد که می‌توان از آن‌ها بسته به کاربرد مورد نظر استفاده نمود. بهترین فیلترهای مورد استفاده در تجزیه سیگنال صوتی، استفاده از فیلترهای 'db' می‌باشد. در این مقاله از تبدیل موجک با فیلتر 'db' در چهار سطح استفاده شده است. الگوریتم تبدیل موجک درخت صفر درج شده در واقع الگوریتمی است که برای فشرده‌سازی تصویر و انتقال آن ارائه شده است. EZW کدکننده‌ای می‌باشد که براساس تبدیل موجک بنا شده است. کد کننده EZW بر پایه کد کردن پیشرو پایه‌گذاری شده است و یک تصویر را به دنباله‌ای از رشته‌ها با دقت افزایشی (پیشرو) فشرده می‌سازد. نکته مورد توجه، "استفاده از وابستگی بین ضرایب تبدیل موجک در طول کل سیگنال و بخش بزرگی از سیگنال کدشده که در زیر سطح آستانه قرار دارند" می‌باشد. در این حالت است که بحث درخت صفر مطرح می‌شود.

الگوریتم EZW شرح داده شده توسط شیپیرو از روش کد کردن در سطح آستانه استفاده می‌کند [۷]. مساله مهم در اینجا از دست دادن موقعیت ضرایب می‌باشد. بدون اطلاعات موقعیت، حتی اگر تمامی ضرایب هم کد شوند، ضرایب کدگشا، قادر به بازسازی سیگنال کدشده نمی‌باشد. این موضوع در نحوه انتخاب موقعیت، توسط کدکننده نهفته است. EZW از یک مرتبه پیمایش تعیین شده‌ای از موقعیت‌های ضرایب تبدیل موجک استفاده می‌کند. در شکل (۱) نمونه ای از ترتیب پیمایش ضرایب نمایش داده شده است.

¹ Embedded Zerotrees of Wavelet Transforms

درخت صفر برای یافتن مکان‌های ضرایب درخت صفر اعمال می‌شود و سپس بر طبق الگوریتم ذخیره‌سازی داده مخفی به استخراج پیام پرداخته می‌شود.

۲-۳- طراحی سیستم روش پیشنهادی

۲-۳-۱- طراحی الگوریتم ذخیره‌سازی پیام مخفی

در این بخش به پیشنهاد الگوریتم مربوطه پرداخته می‌شود و نتایج کلی به همراه آزمون آن آورده شده است. همان‌طور که پیشتر ذکر گردید این پیشنهاد الگوریتم بر پایه تکنیک‌های تبدیل موجک و درخت صفر بنا شده است. در این قسمت روند طراحی الگوریتم بر اساس تئوری‌های موجود بیان شده، و با استفاده از الگوریتم گام به گام آزمون حدسیات ذکر می‌گردد. همان‌طور که بیان شد، الگوریتم درخت صفر بر اساس یافتن ضرایبی از تبدیل موجک می‌باشد که کمترین تاثیر را در ساختار والد و اولاد تبدیل موجک دارد. بنابر تعریف درخت صفر، اگر تمامی اولاد یک والد از مقدار والد خود کمتر باشد آنگاه والد و اولاد آن را درخت صفر می‌نامند که با توجه به تعریف، تنها مقدار والد در ساختار سیگنال را بایستی این الگوریتم را تبدیل موجک رعایت می‌شود استفاده از نظر کرد. با توجه به ساختار دو بعدی الگوریتم درخت صفر، مناسب نمود. با توجه به الگوریتم درخت صفر که بیشترین عملکرد آن معطوف به جزئیات و مولفه‌های بالاگذر سیگنال می‌شود، بهترین مکان جهت اضافه کردن سیگنال اصلی و ضرایب تبدیل موجک مرتبه اول آن، ابتدای دنباله به دست آمده X_w می‌باشد. در ادامه نیز نحوه چیدمان ضرایب درخت صفر نمایش داده شده است. فرض شود سیگنال دلخواه یک سیگنال تصادفی S به طول ۱۶ نمونه باشد. از این سیگنال در سه سطح و با استفاده از فیلتر 'haar' تبدیل موجک گرفته می‌شود و در ادامه ضرایب درخت صفر آن محاسبه می‌شود. به کمک MATLAB موضوعات کلی زیر پیاده‌سازی شد:

- محاسبه تبدیل موجک از سیگنال تصادفی S در سه سطح با استفاده از فیلتر Haar
- چیدمان سیگنال X و بازسازی آن در دو بعد مطابق الگوریتم EZW
- محاسبه مکان ضرایب درخت صفر
- جایگذاری پیام (در این مثال آرایه ای از ۱) به جای ضرایب درخت صفر
- تبدیل معکوس گرفتن از ضرایب تبدیل موجک و بازیابی سیگنال جایگذاری شده با داده مخفی
- آزمون درستی بازیابی داده: اعمال الگوریتم درخت صفر بر روی سیگنال بازیابی شده و مقایسه مکان ضرایب درخت صفر به دست آمده با مکان ضرایب درخت صفر سیگنال اصلی

پس با پیدا کردن ضرایب کم اهمیت در سیگنال طبیعی صوتی می‌توان این ضرایب را به نحوی دلخواه تغییر داد که علاوه بر دارا بودن خاصیت درخت صفر حاوی اطلاعات داده مخفی نیز باشد. بلوک دیاگرام مراحل الگوریتم پیشنهادی ذخیره داده مخفی درون سیگنال صوتی در شکل (۲) آورده شده است.



شکل (۲): بلوک دیاگرام مراحل الگوریتم پیشنهادی ذخیره داده مخفی درون سیگنال صوتی

در مرحله اول اعمال تبدیل موجک و به دست آوردن ضرایب آن می‌باشد. تعداد مراتب تبدیل موجک و نوع فیلتر مورد استفاده در تبدیل موجک بسیار متنوع می‌باشد. فیلترهای تبدیل موجک برای کاربردهای متنوع و سیگنال‌های متفاوت تنوع زیادی یافته اند به طوری که با دانستن ویژگی ساختاری سیگنال می‌توان ضرایب بهتری از تبدیل موجک به دست آورده. البته ویژگی که در تمامی فیلترهای تبدیل موجک رعایت می‌شود استفاده از بردارهای پایه متعامد می‌باشد که با تکیه بر این موضوع می‌توان به این نکته دست یافت که ضرایب به دست آمده از هر مرحله برای تخمین سیگنال اصلی یکتا خواهد بود. زیرا همبستگی بردارهای متعامد صفر می‌باشد. فشردگی و کشیدگی فیلترهای مورد استفاده وابسته به کاربرد موردنظر متفاوت می‌تواند باشد. به عنوان مثال در تخمین سیگنال‌های صوتی بیشتر از فیلترهای db استفاده می‌شود زیرا فیلترهای db دارای ویژگی اغتشاش سریع زمانی (چوگانی بالا) می‌باشد. همچنین در کاربردهایی که سیگنال دارای خاصیت متقاضن می‌باشد می‌توان از فیلترهای Sym استفاده نمود. مرحله دوم استخراج ضرایب درخت صفر می‌باشد. در این قسمت ضرایب سیگنال صوتی باید به نحوی تغییر یابد که متناسب با فرمت ضرایب تصویر باشد. زیرا ضرایب تصویر دو بعدی می‌باشند و ضرایب سیگنال صوتی یک بعدی هستند. پس از پیاده‌سازی سیگنال صوتی در قالب تصویر الگوریتم درخت صفر جهت یافتن ضرایب درخت صفر سیگنال می‌گردد. موضوع آخر مربوط به درج پیام مخفی درون سیگنال صوتی می‌باشد. در این قسمت به تعریف روش و الگویی جهت درج پیام مخفی پرداخته می‌شود. الگوی ذخیره‌سازی نقش مهمی در بازیابی داده مخفی و همچنین پایداری الگوریتم در برابر حملات و همچنین میزان ظرفیت نهان‌نگاری دارد. و در نهایت سیگنال حامل داده‌های مخفی ذخیره می‌شود. در بازیابی داده‌های نهان‌نگاری شده از درون سیگنال حامل بر عکس مراحل بالا دنبال می‌شود. در ابتدای سیگنال صوتی حامل داده مخفی به فرمت داده‌های صوتی شکل داده می‌شوند و در ادامه الگوریتم

برای به دست آوردن ضرایب مناسب می‌توان از فیلترهای دیگر تبدیل موجک استفاده نمود. اما به دلیل این که فیلترهای db سازگاری بیشتری با سیگنال‌های طبیعی دارند، این نوع فیلترها انتخاب شده‌اند. علاوه بر این، در بسیاری از مقاله‌های پژوهشی در رابطه با نهان‌نگاری و نشانه گذاری با استفاده از تبدیل موجک، فیلتر مورد استفاده، فیلترهای db بوده است. انتخاب درجه تبدیل موجک وابستگی زیادی به طول سیگنال در نظر گرفته شده دارد. معمولاً در پژوهش‌های انجام‌شده از مراتب ۴، ۳ و ۵ تبدیل موجک استفاده می‌شود [۱۱، ۱۲]. در اینجا به دلیل این که طول سیگنال اولیه را ۱۶ در نظر گرفتیم، طول ضرایب تبدیل موجک مرتبه ۳ آن با استفاده از فیلتر Haar برابر با ۴ خواهد شد که در استفاده و تخمین سیگنال صوتی اولیه از لحاظ محاسبات و پیچیدگی بهترین انتخاب می‌باشد. زیرا انتخاب ضریبی با طول ۴ به مفهوم تخمین یک نقطه از سیگنال با همسایگی ۴ تایی می‌باشد. یعنی هر ضریب از سیگنال اصلی با پنجره‌ای به طولی ۴ مولفه از فیلتر انتخاب شده تخمین زده می‌شود. در ذخیره‌سازی داده باید توجه زیادی به تاثیر پیام مخفی در شکل سیگنال بازسازی شده داشت. بنابراین برای آزمون کارایی الگوریتم بدترین شرایط را برای داده مخفی در نظر می‌گیرند، حالت‌هایی که معمولاً در شرایط آزمون برای سیگنال مخفی در نظر می‌گیرند عبارتند از سیگنال مخفی با مولفه‌های تماماً یک، تماماً صفر یا یک در میان صفر و یک [۱۲، ۱۵، ۱۶، ۱۷]. برای درج بیت‌های پیام مخفی مکان‌هایی از درخت صفر در نظر گرفته می‌شوند که با مکان‌های قرار گیری ضرایب مولفه‌های تبدیل موجک مرتبه سوم سازگاری داشته باشند. همان‌طور که قبل‌نیز ذکر شد، این امر به دلیل این است که بازسازی سیگنال اصلی از روی مولفه‌های مرتبه سوم صورت می‌پذیرد. در این قسمت پس از تولید سیگنال تصادفی دلخواه، تبدیل موجک مرتبه سوم آن با استفاده از فیلتر db1 محسوبه می‌شود و سپس از ضرایب آن برای انتخاب درخت صفر از الگوریتم EZW استفاده می‌شود. مکان‌هایی که از الگوریتم EZW حاصل می‌شوند با مکان‌های ضرایب تبدیل موجک مرتبه سوم تطبیق داده می‌شوند و ضرایبی را که متناظر با آن‌ها در ماتریس درخت صفر، مقدار صفر دارند، به عنوان مکان‌های درج پیام مخفی انتخاب می‌شوند.

در ادامه تمامی سیگنال درج شده را یکسان قرار داده می‌شود. در مرحله اول سیگنال درج شده را تماماً یک در نظر گرفته و سپس سیگنال اصلی از روی این ضرایب تغییر یافته بازسازی می‌شود. برای آزمون نتیجه عملکرد الگوریتم مجدداً از این سیگنال بازسازی شده تبدیل موجک در سه سطح گرفته شده و درخت صفر ریشه‌های آن بازیابی می‌گردد. در شکل (۳) روند شرح داده شده به همراه فلوچارت برنامه نمایش داده شده است.

مراحل جایگذاری داده مخفی به ۵ بخش متفاوت تقسیم می‌شود:

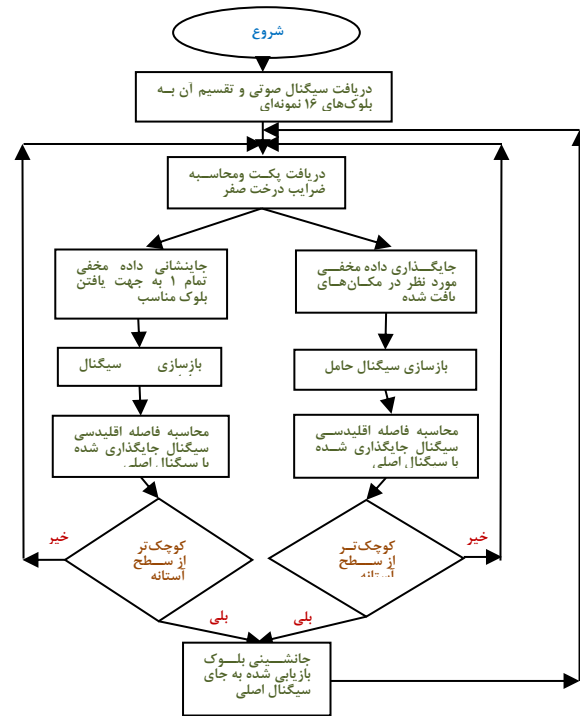
- ۱- محاسبه تبدیل موجک در سه سطح از سیگنال مورد نظر
- ۲- چیدن ضرایب سیگنال مورد نظر به فرمت مناسب در دو بعد
- ۳- محاسبه درخت صفر ضرایب سیگنال
- ۴- جایگذاری داده مخفی در مکان‌های مورد نظر
- ۵- بازیابی سیگنال با استفاده از تبدیل معکوس تبدیل موجک پس از جایگذاری داده مخفی آزمون درستی بازیابی داده پنهان‌شده یا همان Verification باید صورت پذیرد. یعنی آیا در بازیابی داده مخفی از ضرایب درخت صفر، مکان‌های جدید به دست آمده از اعمال تبدیل EZW بر روی سیگنال حامل اطلاعات مخفی با مکان‌های ضرایب درخت صفر سیگنال اصلی تطابق دارد یا خیر؟ برای این منظور ۳ مرحله بالا بر روی سیگنال بازیابی شده (سیگنال حامل اطلاعات مخفی) انجام می‌گیرد. در صورت درستی عملکرد بازیابی مکان‌های درخت صفر، میزان اغتشاش وارد شده در سیگنال حامل و سیگنال اصلی با استفاده از محاسبه فاصله اقلیدسی میان این دو سیگنال محاسبه می‌شود. نتایج عددی الگوریتم سیگنال تصادفی S در فضای دو بعدی و همچنین ضرایب آن در مقیاس ۲۵۶ تا ۲۵۶ را بازسازی شد. ماتریس خروجی الگوریتم درخت صفر پس از حذف کردن ضرایب کم ارزش به دست آمد. در ادامه با استفاده از آن، و تبدیل معکوس تبدیل موجک، سیگنال اصلی بازسازی شد. در این حالت سطح آستانه را برای یافتن درخت صفر ضرایب سیگنال برابر یک شانزدهم بزرگترین مقدار سیگنال قرار دادیم. بدیهی است که برای بدست آوردن قدرت مقاومت بیشتر سطح آستانه را می‌توان بزرگ‌تر انتخاب نمود. هرچه سطح آستانه بزرگ‌تر باشد، مقاومت الگوریتم در برابر حملات بیشتر خواهد شد اما میزان خرابی سیگنال نسبت به قبل آن بیشتر خواهد شد.

همان‌طور که اشاره شد، پس از ترکیب سیگنال حامل با پیام مخفی باید صحت عملکرد الگوریتم در بازیابی رشته داده پیام مخفی سنجیده شود. بنابراین یک بار دیگر الگوریتم را بر روی سیگنال بازسازی شده اعمال شد. نتیجه حاصله از خروجی درخت صفر این فرایند باید با نتیجه درخت صفر سیگنال اصلی تطابق داشته باشد. یعنی هر دو خروجی درخت‌های صفر حاصل از الگوریتم بر روی دو سیگنال اصلی و بازسازی شده نتایج یکسانی را داشته است. حال که طرح اولیه طراحی الگوریتم خروجی مثبتی را در بر داشت، در ادامه، نحوه ذخیره‌سازی داده‌های پیام مخفی درون مکان‌های درخت صفر آورده شده است.

۲-۲-۳- پیاده‌سازی الگوریتم ذخیره‌سازی پیام مخفی

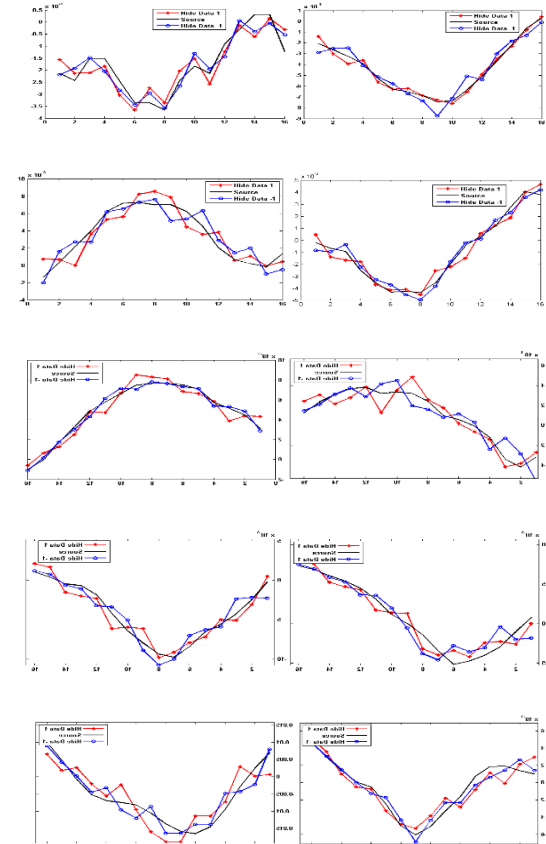
الف) الگوریتم پیشنهادی اول: در این مقاله از تبدیل موجک مرتبه سوم با فیلترهای db استفاده شده است. بدیهی است که

همان طور که مشاهده می‌شود، میزان تفاوت میان سیگنال‌های حامل با سیگنال اصلی ناچیز (در حدود ۰-۳) می‌باشد. در شکل ۴، منحنی بدون علامت و ساده مربوط به سیگنال اصلی است. در این آزمایش، سیگنال صوتی اصلی به بلوک‌های ۱۶ نمونه‌ای تقسیم‌بندی شده‌اند و در تمامی بلوک‌ها پیام مخفی به دو صورت دنباله‌ای از ۱ (منحنی با علامت*) و -۱ (منحنی با علامت دایره‌های کوچک) نهان‌نگاری شده است. دامنه ۱ به منظور درج کد ۱ و -۱ به منظور درج کد صفر است که در هنگام نهان‌نگاری دنباله پیام مخفی دامنه‌ها در نظر گرفته شده، در حد آستانه‌ای ضرب می‌شوند. اما نکته‌ای که در این جا باید مد نظر گرفته شود این است که درج بیت پیام مخفی باعث خرابی در ساختار سیگنال صوتی نشود. زیرا خرابی و شکست در سیگنال زمانی همانند اضافه شدن ۵ فرکانسی در طیف فرکانسی سیگنال و ایجاد اغتشاش و خرابی در سیگنال می‌شود. بنابراین بعد از انجام الگوریتم، فاصله اقلیدسی سیگنال بازسازی شده و سیگنال اصلی محاسبه می‌شود و در صورتی که مقدار این فاصله از یک میزان معین (حد آستانه) بیشتر نباشد، با توجه به الگوریتم درخت صفر بلوک درجه شده را می‌توان به عنوان بلوک مساعد جهت نهان‌نگاری در نظر گرفت و می‌توان داده‌های بازیابی شده با استفاده از پیام مخفی را به جای داده‌های اصلی سیگنال قرار داد. در صورتی که میزان فاصله اقلیدسی بیشتر از حد آستانه مورد نظر باشد سیگنال اصلی بدون تغییر باقی می‌ماند. در اینجا دلیل استفاده از فاصله اقلیدسی بدین جهت می‌باشد که تغییرات صورت پذیرفته بر روی ضرایب تبدیل موجک با استفاده از فیلتر Haar صورت پذیرفته است. بنابراین بازسازی دوباره سیگنال اصلی در حوزه زمان می‌باشد. بنابراین با توجه به تغییرات زمانی صورت پذیرفته شده بر روی سیگنال ساده ترین معیار جهت اندازه‌گیری تغییرات دو سیگنال در حوزه زمان استفاده از معیار فاصله اقلیدسی می‌باشد. الیته لازم به ذکر است که استفاده از چندین معیار به عنوان استخراج کننده ویژگی دارای مزیت‌های بیشتری می‌باشد اما با اضافه کردن یک معیار جدید میزان پیچیدگی محاسبات و پیاده‌سازی آن چندین برابر می‌شود. با افزایش حد آستانه حجم ذخیره داده‌های پیام مخفی افزایش می‌یابد اما در عرض سیگنال بازسازی شده بیشتر دچار خرابی و اغتشاش می‌شود. بنابراین بین میزان حد آستانه کیفیت و ظرفیت نهان‌نگاری رابطه معکوس وجود دارد یعنی با افزایش ظرفیت نهان‌نگاری، کیفیت سیگنال صوتی کاهش پیدا می‌کند. در نتایج به دست آمده حد آستانه صوتی کاهش ۰.۱ Threshold<0.8 دو وضعیت داده صفر و یک دارد. بنابراین در این مقاله بیشتر از این محدوده حد آستانه کیفیت آزمون الگوریتم استفاده شده است. بازیابی اطلاعات ذخیره شده عکس مرحله بالا را طی می‌کند.



شکل (۳): فلوچارت پیشنهادی اول

در شکل (۴) چند نمونه از عملکرد الگوریتم ذکر شده که با دنباله تماماً یک و تماماً صفر نهان‌نگاری شده، نمایش داده شده است.



شکل (۴): چند نمونه از عملکرد الگوریتم پیشنهادی اول، با دنباله تماماً یک و تماماً صفر نهان‌نگاری شده

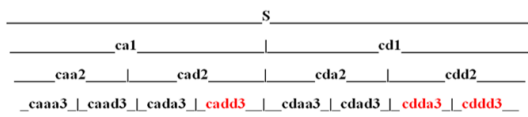
مفاهیم واقعی دارد. بنابراین با صرف نظر از این ضرایب می‌توان داده مخفی را در این مکان‌ها نهان‌نگاری نمود. یکی از مزیت‌های این کار افزایش سرعت پردازش می‌باشد.

د) الگوریتم سرفایل گذاری پیام مخفی: در این قسمت به شرح نحوه سرفایل گذاری بر روی داده‌های پرداخته می‌شود. سرفایل گذاری داده‌ها از این لحاظ دارای اهمیت می‌باشد که ممکن است طول پیام مخفی از ظرفیت نهان‌نگاری کوچک‌تر باشد در این صورت برای دیکد پیام درج شده با مشکل روبه رو خواهیم شد. زیرا بازیابی اطلاعات به صورت کاملاً کور صورت می‌پذیرد و در دیکد کردن داده مخفی به سیگنال اصلی اولیه که بر روی آن نهان‌نگاری اعمال شده است دسترسی نخواهیم داشت. بنابراین الگوریتم رمزگشایی داده مخفی تمامی طول ظرفیت نهان‌نگاری یک سیگنال را به عنوان داده مخفی بازیابی خواهد نمود. بنابراین باید الگوریتمی جهت مشخص نمودن ابتدا و انتهای داده مخفی مشخص نمود. همچنین از دیگر کاربردهای سرفایل گذاری بر روی پکتهای داده مخفی می‌توان به نهان‌نگاری داده در چندین فایل اشاره نمود. به عبارت دیگر در صورتی که حجم یا ظرفیت نهان‌نگاری سیگنال صوتی کوچک‌تر از حجم پیام مخفی باشد، می‌توان پیام مخفی را به چندین پکت تقسیم نمود و هر پکت را به طور جداگانه درون فایل‌های متفاوت و مجزا ذخیره نمود. البته سرفایل در نظر گرفته شده باید دارای سه خصوصیت یکتایی، طول کوچک و افزونگی کم باشد. سرفایل در نظر گرفته شده نیاید در طول داده‌های پیام مخفی وجود داشته باشد زیرا در غیر این صورت دنباله استخراجی اشتباه خواهد بود. علاوه بر این طول سر پکت نباید از یک حدی بیشتر باشد. زیرا طول زیاد سرفایل از میزان ظرفیت نهان‌نگاری کاسته خواهد کرد. الگوریتم استانداردی که برای سرفایل گذاری داده‌های مخفی در نظر گرفته شده است، الگوریتم HDLC می‌باشد که یک الگوریتم استاندارد برای ارسال داده بر روی هر نوع خط ارتباطی می‌باشد. در این الگوریتم دنباله "01111110" به عنوان سر فایل هر نوع پکت داده اعم از داده‌های مخابراتی یا غیره در نظر گرفته می‌شود. زیرا دو خصوصیت طول کم و افزونگی کم را دارد. به دلیل این که این دنباله ممکن است درون داده‌های یک پکت ظاهر شود، قبل از اضافه کردن این سرفایل به داده‌ها عمل Bit Stuffing بر روی داده‌ها صورت می‌پذیرد. بدین صورت که ابتدا درون دنباله رشته داده‌های پیام به جستجوی دنباله "111111" پرداخته می‌شود و صرف نظر از این که مقدار داده چه عددی باشد یک عدد "0" به انتهای این دنباله اضافه می‌شود. در این صورت درون دنباله داده پیام مخفی دیگر ۶ عدد ۱ پشت سر هم خواهیم داشت و تنها با اضافه کردن سرفایل به دنباله ۶ عدد ۱ پشت سر هم خواهیم داشت که نشانگر ابتدا و انتهای فایل خواهد بود. در این مقاله پس از دریافت پکت داده مخفی و

بدین صورت که مکان‌های ضرایب درخت صفر سیگنال حامل، با استفاده از الگوریتم درخت صفر جستجو می‌شوند. در ادامه ضرایب درخت صفر به عنوان داده‌های نهان‌نگاری شده استخراج می‌شوند. در صورتی که داده‌ها بزرگ‌تر از صفر باشند به عنوان داده نهان‌نگاری شده ۱ و در صورتی که داده‌ها کوچک‌تر از صفر باشند داده‌های به عنوان داده نهان‌نگاری شده صفر در نظر گرفته می‌شوند.

ب) الگوریتم پیشنهادی دوم: علاوه بر الگوریتم پیشنهادشده الگوریتم دیگری نیز قابل دستیابی می‌باشد. همان‌طور که قبل ذکر شد داده‌های پیام به جای ضرایب درخت صفر در سیگنال صوتی جایگذاری می‌شوند. در الگوریتم پیشنهادشده به ازای هر ضرایب درخت صفر یافته شده درون هر بلوک یک عدد از دنباله پیام مخفی قرار می‌گیرد. بنابراین احتمال خرابشدن داده مورد نظر در اثر حملات افزایش می‌یابد. در الگوریتم پیشنهادی دوم، به جای تمامی ضرایب درخت صفر که از یک بلوک به دست می‌آید تنها یک عدد از دنباله پیام مخفی ذخیره‌سازی شود در این صورت با تغییر یکی از ضرایب درخت صفر پیام مخفی دچار خرابی نخواهد شد.

ج) الگوریتم پیشنهادی سوم: مطابق شکل (۵) همچنین در آزمون‌های انجام‌شده مشاهده گردید که مکان‌هایی از درخت صفر نسبت به دیگر مکان‌ها بسیار تکرار می‌شوند. یعنی ضرایب این مکانها صرف نظر از مقادیر آن‌ها دارای ارزش ساختاری چندانی در سیگنال صوتی نمی‌باشند. این مکانها عبارتند از Cadd3 و Cddd3. این مکان‌ها در شکل زیر نمایش داده شده‌اند.

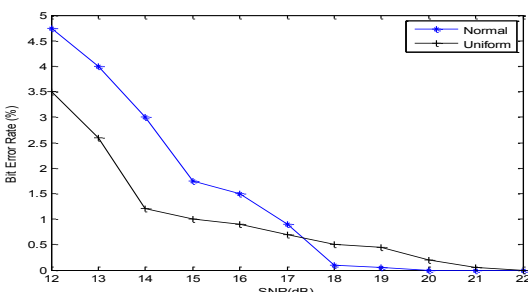


شکل (۵): مکان‌های درخت صفر در الگوریتم پیشنهادی سوم

همان‌طور که قبل نیز ذکر شد، مولفه‌های فرکانس پایین (DC) ساختار کلی سیگنال را تشکیل می‌دهند و مولفه‌های فرکانس بالا جزئیات سیگنال را تشکیل می‌دهد. ضرایب تبدیل موجک (DC) Cadd3 مربوط به تشکیل جزئیات فرکانس‌های پایین (Cadd3) سیگنال صوتی می‌باشد پس بنابراین منطقی می‌باشد که در تشکیل ساختار اصلی سیگنال صوتی تاثیر چندانی نداشته باشد. همچنین Cddd3 و Cdda3 به ترتیب مربوط به تشکیل ساختار فرکانس پایین و فرکانس بالای جزئیات سیگنال صوتی (مولفه‌های فرکانس بالای سیگنال) می‌باشند. به دلیل این که باز جزئیات (مولفه‌های فرکانس بالا) تاثیر چندانی در تشکیل ساختار شکل موج صوتی ندارند بنابراین تجزیه این عوامل به زیر مجموعه فرکانس پایین و فرکانس بالا نیز اهمیت چندانی ندارند. با توجه به این مطلب در می‌یابیم تجزیه درخت صفر نتایج یکسانی را با

نویز کانال پرداخته شد. همان‌گونه که قبل از اشاره شد، حملات در نهان‌نگاری به دو مفهوم و نوع کلی تقسیم‌بندی می‌شوند. نوع اول، حملاتی می‌باشند که به منظور تخریب سیگنال نهان‌نگاری شده بر روی سیگنال حامل پیام مخفی صورت می‌پذیرد. هدف از این نوع حملات از بین بردن پیام مخفی درج شده درون سیگنال حامل و جلوگیری از ارسال پیام مخفی به مقصد می‌باشد. نوع دوم، حملاتی هستند که به منظور کشف و دیدکردن پیام مخفی بر روی سیگنال حامل پیام مخفی صورت می‌پذیرد. هدف از حملات نوع دوم به دست آوردن محتوی پیام مخفی و آگاهی از آن می‌باشد. به دلیل این که بستر کاری در این مقاله سیگنال صوتی دیجیتال می‌باشد، مباحثی از قبل نویز محیط، نویز کانال و نویز گیرنده بی مفهوم خواهد بود. به عبارت دیگر، در برخورد با سیگنال‌های دیجیتال این فرضیات در نظر هیچ یک از فایل‌های دیجیتال که بر روی یک بستر منطقی ذخیره می‌شوند نمی‌توان اعتماد کرد. زیرا با جابجاگی و تغییر در یک بیت از فایل دیجیتال، محتوای کل فایل از بین خواهد رفت. از دیدگاهی دیگر، بررسی نویز میزان قابلیت اعتماد به الگوریتم ذخیره‌سازی و نهان‌نگاری را افزایش می‌دهد. بنابراین از این دیدگاه، بررسی نویز و تاثیر آن بر سیگنال نهان‌نگاری شده خالی از لطف نخواهد بود. از این رو در ادامه به بررسی این موضوع پیام مخفی در این مقاله به دو صورت اضافه کردن نویز سفید به سیگنال و اندازه‌گیری میزان SNR سیگنال و همچنین حملات از نوع اضافه کردن مولفه به نمونه‌های سیگنال حامل پیام مخفی و اندازه‌گیری میزان خطای بازیابی داده مخفی صورت خواهد پذیرفت.

۵۰- افزودن نویز سفید و بررسی میزان سیگنال به نویز: در این آزمون که با نرم افزار Matlab صورت انجام می‌شود یک سیگنال صوتی با فرکانس ۴۴۱۰۰ هرتز و کوانتیزاسیون ۱۶ بیت در نظر گرفته شده است. نویز اعمالی دو نوع نویز سفید نرمال، و نویز سفید یکنواخت انتخاب شده است. نتایج این تحقیق مطابق باشد.

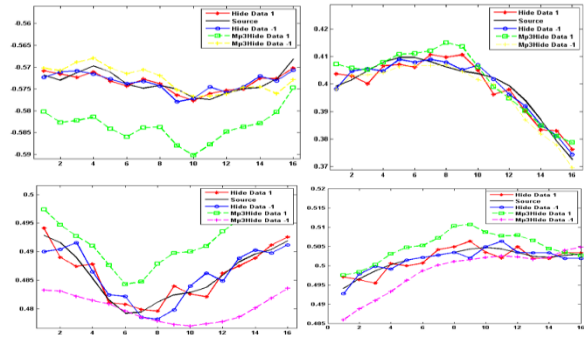


شکل (۷): افزودن نویز سفید و پرسی میزان سیگنال به نویز

تبديل آن به دنباله‌ای از "۰" و "۱" عمليات Bit Stuffing بر روی دنباله اعداد انجام می‌شود و در نهايت دنباله "۰۱۱۱۱۱۱۱۰" به انتهای داده‌های پيام مخفى اضافه می‌شود.

در پياده‌سازی الگوريتم پيشنهادي، در صورتی که مقدار خروجي خطاي حاصل از الگوريتم پيشنهادي صفر باشد به مفهوم اين است که بلوک دريافتی حاوي اطلاعات پيام مخفى می‌باشد.

در صورتی که مقدار خطاب مخالف صفر باشد بلوک مورد نظر مناسب نهان‌نگاري نمی‌باشد. در اين مقاله با استفاده از اين توابع فایل MP3 به فایل صوتی تبديل می‌شود و سپس عمليات موردنظر بر روی فایل صوتی انجام می‌پذيرد. خوبی اين کار در اين است که با يكبار MP3 كردن فایل صوتی مقادير زبادي از نمونه‌هایی که در فایل صوتی شنيده نمی‌شوند و در طی پخش فایل ماسک می‌شوند، حذف خواهند شد. بنابراین اين اطمینان را خواهيم داشت که سيگنال نهان‌نگاري شده در اثر MP3 شدن تغييرات چندانی نخواهد كرد. در شكل (۶) چند نمونه بلوک صوتی نهان‌نگاري شده که يك بار MP3 شده است و دوباره به فایل صوتی ديکد شده است را در مقایسه با سيگنال صوتی نمایش داده شده است.



شکل (۶): چند نمونه بلوک صوتی نهان نگاری شده یک بار MP3 شده و دوباره به فایل صوتی دیگر شده، در مقایسه با سیگنال صوتی همان طور که در شکل (۶) مشاهده می شود، Mp3 نمودن فایلی صوتی که یک بار Mp3 شده است تغییرات چندانی نخواهد داشت. در این شکل، نمودارها به صورت منحنی با علامت * برای پیام مخفی با دنباله‌ای از ۱، منحنی بدون علامت و ساده برای سیگنال اصلی، منحنی با علامت دایره‌های کوچک برای پیام مخفی با دنباله‌ای از ۱-، منحنی با علامت مستطیل‌های کوچک برای MP3 با دنباله‌ای از ۱ و منحنی با علامت + برای MP3 پیام مخفی با دنباله‌ای از ۱- مشخص شده است.

٣-٣-٣- ادز بایه، الگو و تتم پیشنهادی

۳-۱- بررسی عملکرد الگوریتم پیشنهادی و پایداری در برابر حملات

در این بخش به کارایی الگوریتم پیشنهادی در برابر حملات و

یک نمونه داده در میان نمونه‌های سیگنال صوتی اصلی، تمامی اطلاعات مخفی شده درون سیگنال حامل در صورتی از الگوریتم‌های تصحیح خطأ استفاده نشده باشد از بین خواهد رفت. این در حالی است که رخداد خطأ به صورت انتشاری در میان تمامی داده‌ها پخش خواهد شد. بنابراین با توجه به اهمیت پایداری الگوریتم در برابر حملات تخریبی، در این بخش به بررسی پایداری الگوریتم پیشنهادی در برابر نویز افزایشی خواهیم پرداخت. نحوه ایجاد نویز افزایشی به چندین صورت مختلف امکان‌پذیر می‌باشد. بنابراین از میان روش‌های مختلف، چند روش زیر برای آزمون این قسمت در نظر گرفته شده است:

الف) اضافه نمودن یک نمونه تصادفی در میان داده‌های سیگنال صوتی؛ در این قسمت بدون درنظر گرفتن محتوای سیگنال، نمونه‌هایی در میان نمونه‌های سیگنال اصلی درج می‌شود. با توجه به این که تعداد حالت‌های درج نمونه در این حالت بسیار زیاد می‌باشد، سه روش زیر برای آزمون این بخش انتخاب شد:

الف-۱) اضافه کردن یک نمونه معین به صورت یک در میان در بین نمونه‌های سیگنال صوتی؛ با توجه به این که حملات صورت پذیرفته شده نباید کیفیت سیگنال صوتی را محدودش کند، بنابراین در این حالت به صورت یک در میان متوسط هر دو نمونه مجاور محاسبه می‌گردد و سپس این مقدار به عنوان نمونه اضافه شده به سیگنال اصلی در نظر گرفته می‌شود. با این روش، کیفیت سیگنال صوتی تغییری نخواهد داشت و تنها حجم فایل صوتی دو برابر می‌شود. این روش بر روی ۱۵ نمونه سیگنال صوتی متفاوت به صورت تصادفی انجام شده است. رابطه (۳) نحوه به دست آوردن نمونه اضافه شده را نمایش می‌دهد.

$$YT(N) = (YS(N-1) + YS(N+1))/2; \quad (3)$$

در این حالت در صورتی که نرخ بیت نمونه برداری سیگنال اصلی به ۲ برابر حالت قبل تغییر کند، سیگنال صوتی از لحاظ کیفیت تغییر چندانی نخواهد کرد.

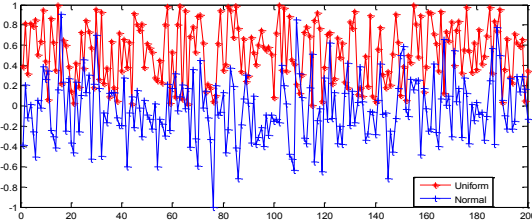
الف-۲) اضافه کردن یک نمونه معین به صورت تصادفی در بین نمونه‌های سیگنال صوتی؛ تفاوت این روش با روش الف در انتخاب مکان‌های جایگذاری نمونه مورد نظر می‌باشد. در این روش به تعداد ۱۰ درصد از کل نمونه‌های سیگنال صوتی، نمونه مورد نظر در بین نمونه‌های سیگنال صوتی جایگذاری می‌شود.

الف-۳) اضافه کردن یک نمونه تصادفی به صورت تصادفی در بین نمونه‌های سیگنال صوتی؛ در این روش، علاوه براین که دامنه‌های نمونه درج شده به طور تصادفی انتخاب می‌گردد، مکان‌های درج نیز به طور تصادفی به تعداد ۱۰ درصد از کل نمونه‌های سیگنال صوتی انتخاب می‌شوند.

درصد نرخ خطای بیت برای سه روش اضافه نمودن یک نمونه تصادفی در میان داده‌های سیگنال صوتی به ترتیب الف-۱

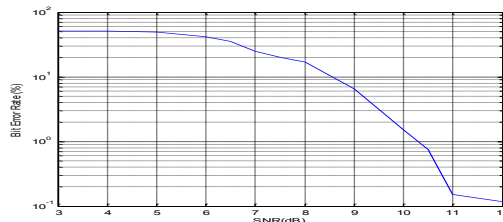
همان‌طور که از شکل (۷) مشخص است، پایداری الگوریتم پیشنهادی در برابر نویز سفید نرمال (منحنی با علامت +) بیشتر از نویز یکنواخت (منحنی با علامت *) می‌باشد.

در شکل (۸) دو نمونه از توزیع‌های به کار برده شده نمایش داده شده است. حالت نرمال با علامت + و حالت یکنواخت با علامت * مشخص شده است.



شکل (۸): توزیع به کار برده شده نویز سفید نرمال، و نویز سفید یکنواخت

در ادامه به دلیل کاربردی‌تر بودن روش دوم از الگوریتم پیشنهادی، به بررسی بیشتر میزان تاثیر نویز بر روی این الگوریتم و آزمون‌های آن پرداخته شده است. نمونه‌های مورد استفاده برای آزمون آماری ۱۰ نمونه صوتی متفاوت می‌باشد. نمونه‌های صوتی شامل ۲ نمونه صوتی با گفتار مرد، ۲ نمونه صوتی با گفتار زن، ۲ نمونه صوتی با گفتار کودک، ۲ نمونه صوتی موسیقی و ۲ نمونه صوتی مختلط می‌باشد. نرخ خطای بیت (BER) برای ۱۰ بار تکرار به صورت متوسط برای هر کدام از نمونه‌ها بر حسب لگاریتم محاسبه شده است. نتایج محاسبات خطأ در شکل (۹) آورده شده است.



شکل (۹): نتایج محاسبات خطأ

همان‌طور که مشاهده می‌شود، الگوریتم پیشنهادی در برابر SNR های بالاتر از 10db نرخ بیت خطای کمتر از ۱ بیت دارد.

○ بررسی عملکرد الگوریتم پیشنهادی در برابر خطای افزایشی: در این قسمت مقاومت الگوریتم پیشنهادی را در برابر حملات افزایشی بررسی می‌کنیم. نحوه عملکرد حملات افزایشی بدین صورت می‌باشد که در بین داده‌های سیگنال صوتی بلوك‌هایی به صورت تصادفی اضافه می‌گردد. بدین شکل، در صورتی که الگوریتم به کار رفته نسبت به مکان چه در حوزه زمان و چه در حوزه فرکانس اینم نباشد، بازیابی اطلاعات مخفی به طور صحیح صورت نخواهد پذیرفت. به عنوان مثال در صورتی که از روش LSB برای نهان‌نگاری استفاده شود، با اضافه کردن

سیگنال صوتی: در این روش بلوک‌هایی با توزیع یکنواخت در میان بلوک‌های سیگنال صوتی حامل پیام مخفی اضافه می‌شود. به دلیل این که بلوک‌های سکوت تقریباً دارای شکل یکنواخت و مقدار دامنه کوچک هستند، در اینجا برای بررسی بیشتر الگوریتم پیشنهادی، از توزیع یکنواخت در انتخاب نمونه‌های بلوک درج شده استفاده شده است. با توجه به این که معمولاً بلوک‌های سکوت پیش و یا پس از یک گام صوتی در سیگنال صوتی ظاهر می‌شوند، بنابراین بهترین مکان جهت اضافه کردن بلوک درج شده پیش و یا پس از بلوک‌های سکوت به نظر می‌رسد. در ادامه برای یافتن بلوک‌های سکوت از دو تکنیک ساده آماری میانگین و واریانس نمونه‌ها استفاده شده است. در اینجا، بلوک‌هایی که میانگین آماری آن‌ها از یک سطح آستانه کوچکتر باشند و همچنین واریانس نمونه‌های آن بزرگتر از 0.73 باشد به عنوان بلوک سکوت در نظر گرفته می‌شود. درصد نرخ خطای بیت برای حالت اضافه نمودن بلوک‌های سکوت در میان پیچ‌های صوتی سیگنال صوتی در روش بلوک سکوت نویز یکنواخت با طول ۱۶ نمونه برابر با 1.25 به دست آمد.

نتیجه این بخش نیز مانند بخش قبلی مشابه می‌باشد. زیرا بلوک‌هایی که دارای توزیع یکنواخت هستند، مستعد درج پیام مخفی با استفاده از روش الگوریتم پیشنهادی نخواهند بود.

۲-۳-۳- بررسی عملکرد الگوریتم پیشنهادی در برابر فشرده‌سازی و MP3

در این قسمت به پایداری الگوریتم پیشنهادی در برابر فشرده‌سازی و MP3 پرداخته شده است. همان‌طور که در قبل شرح داده شد، پیام مخفی بر روی نمونه‌های PCM صوت درج می‌شوند. نحوه ذخیره‌سازی اطلاعات بدین صورت می‌باشد که در ابتداء فایل MP3 انتخاب شده را به فرمت WAV تبدیل کرده و سپس الگوریتم پیشنهادی بر روی آن اعمال می‌شود.

در ادامه خروجی الگوریتم که به فرمت WAV می‌باشد به MP3 تبدیل می‌شود. در انتهای برای اندازه گیری و محاسبه میزان خطای حاصله، فایل MP3 به دست آمده، دوباره به WAV تبدیل می‌شود و با استفاده از این فایل الگوریتم دیکدکننده پیشنهادی بر روی آن اعمال می‌شود. در نهایت میزان خطای حاصله بر حسب بیت محاسبه می‌شود. برای انجام این آزمون از فایل‌های صوتی با نرخ بیت 128 کیلو بیت بر ثانیه استفاده شده است.

نمونه‌های صوتی شامل 2 نمونه‌ی صوتی با گفتار مرد، 2 نمونه‌ی صوتی با گفتار زن، 2 نمونه‌ی صوتی با گفتار بچه، 2 نمونه‌ی صوتی بی کلام و 2 نمونه‌ی صوتی مختلط می‌باشد. در جدول (1) نتایج آزمون فشرده‌سازی MP3 برای مقادیر متفاوت سطح آستانه آورده شده است.

برابر با 57 ، الف-۲ برابر با 2.5 و الف-۳ برابر با 11 حاصل شد. همانطور که مشاهده می‌شود، در صورتی که به طور یک در میان به نمونه‌های سیگنال اصلی متوسط دو نمونه مجاور اضافه گردد، درصد خطای نخواهد بود در صورتی که نرخ بیت نمونه برداری سیگنال صوتی به دو برابر افزایش یابد که با این وجود کیفیت سیگنال اصلی تغییر چندانی نخواهد کرد. اما به دلیل این که دیگر داده‌های پیام مخفی با نیمی از داده‌های اصلی درج شده صورت می‌پذیرد، درصد خطای نرخ قابل ملاحظه ای افزایش می‌یابد. در صورتی که نرخ بیت سیگنال صوتی بدون تغییر در نظر گرفته شود با توجه به یک در میان اضافه کردن نمونه‌ها می‌توان این نتیجه را گرفت که با این کار سیگنال صوتی را به طور کل تخریب نموده ایم. در این دو حالت به میزان صد درصد به سیگنال، داده افزوده می‌شود. و همانطور که BER نشان می‌دهد، آشکارسازی پیام مخفی کاملاً تصادفی می‌شود. به عبارت دیگر سیگنال مخفی کاملاً تخریب می‌شود.

ب) اضافه نمودن یک بلوک داده تصادفی در میان بلوک‌های سیگنال صوتی: در این روش یک بلوک با داده‌های تصادفی در میان داده‌های سیگنال صوتی اضافه می‌گردد. با توجه به این نکته که الگوریتم پیشنهادی بر پایه بلوک‌های 16 نمونه ای از سیگنال صوتی استوار است، بنابراین بلوک‌های نمونه درج شده را نیز با همین طول در نظر می‌گیریم. تعداد بلوک‌های در نظر گرفته شده در این قسمت برابر 10 درصد تعداد کل بلوک‌های 16 تایی موجو در سیگنال می‌باشد. همچنین دامنه نمونه‌های موجود درون بلوک‌های تصادفی به صورت نویز سفید گوسی انتخاب شده است. درصد نرخ خطای بیت اضافه نمودن یک بلوک داده تصادفی در میان بلوک‌های سیگنال صوتی در روش بلوک تصادفی نویز گوسی با طول 16 نمونه، برابر با 2 به دست آمد. همان‌طور که از نتایج مشهود است، روش پیشنهادی در برابر اضافه کردن نویز افزایشی به صورت بلوک مقاوم به نظر می‌رسد. علت این امر بدین خاطر می‌باشد که بلوک‌های اضافه شده به صورت نویز گوسی فاقد ویژگی بلوک‌هایی است که الگوریتم پیشنهادی بر روی این بلوک‌ها عملیات نهان نگاری را پیاده‌سازی می‌کند. به عبارت دیگر نویزهای گوسی شکل قله مانند خود را تاحدی حفظ می‌کنند.

با توجه به الگوریتم درخت صفر و نتایج آزمایشات، چنین به نظر می‌رسد که بلوک‌هایی مساعد نهان‌نگاری می‌باشند که دارای شبی تقریباً ثابتی باشند و در ابتداء یا انتهای بلوک دارای پیک کوچکی باشند. از این‌رو هرچند بلوک نویز گوسی که سیگنال صوتی اضافه شود، تاثیر چندانی بر الگوریتم درج پیام مخفی پیشنهادی نخواهد داشت.

ج) اضافه نمودن بلوک‌های سکوت در میان پیچ‌های صوتی

$$\text{CD} = \frac{\sum_{m=1}^M w(m) d(c_x, c_y, m)}{\sum_{m=1}^M (m)} \quad (4)$$

$$d(c_x, c_y, m) = \left[[c_x(0) - c_y(0)]^2 + 2 \sum_{k=1}^L [c_x(k) - c_y(k)]^2 \right]^{\frac{1}{2}}$$

همان‌طور که در رابطه (۴) مشاهده می‌شود، آنالیز کیفیت صوت به روش CDM، برای هر قطعه از صوت (فریم) به‌طور جداگانه در نظر گرفته می‌شود. یعنی صوت را به فریم‌های با طول دلخواه تقسیم می‌کنند و فاصله اقلیدسی بین فریم‌های نهان‌نگاری شده و اصلی را محاسبه می‌کنند همچنین به دلیل این که انرژی هر فریم (بلندی) متفاوت می‌باشد، هر فریم را در متوسط انرژی آن که به‌صورت w در فرمول فوق نمایش داده شده است، ضرب می‌کنند. در اینجا به دلیل آن که فایل‌های صوتی از قبل دسته‌بندی شده‌اند و طول هر فایل صوتی کوتاه در نظر گرفته شده است، نیازی به فریم‌بندی فایل صوتی نداریم. علاوه بر این برای درک محسوس تر و همچنین مقایسه بین فایل‌های صوتی متفاوت باید معیارهای به دست آمده را نرم‌الیزه کرد. به‌منظور این هدف معیار CDM به دست آمده را بر طول هر فایل صوتی تقسیم کرده و میانگین تعداد فایل‌های مشابه از یک نوع را محاسبه می‌کنیم تا در مقایسه بین فایل‌های صوتی مختلف، دید بهتری به ما دهد. نتایج بررسی این روش در جدول (۲) آورده شده است.

جدول (۱): نتایج آزمون فشرده‌سازی MP3 برای مقادیر متفاوت سطح

آستانه

سیگنال	نرخ خطای بیت (%)		
	۶۴kbps	۹۶kbps	۱۲۸kbps
نرخ نمونه برداری	۰,۵	۰,۷	۰,۹
سطح آستانه	۰,۵	۰,۷	۱,۱

۳-۳-۳- بررسی الگوریتم پیشنهادی از لحاظ آماری

از آنجایی که صوت به دسته‌های گوناگونی طبقه‌بندی می‌شود، بنابراین برای بررسی جامع تر الگوریتم پیشنهادی ۲۰ قطعه صوتی در نظر گرفته شد. این مجموعه شامل ۵ قطعه صوتی آهنگ (بی کلام)، ۵ قطعه صوتی گفتار زن، ۵ قطعه صوتی گفتار مرد و ۵ قطعه موسیقی آمیخته گفتار و آهنگ می‌باشد. در ادامه تمامی روش‌های آزمون بر روی این مجموعه اعمال می‌گردند.

بررسی آماری الگوریتم پیشنهادی در حوزه فرکانس

مقیاس فاصله کپستروم CDM: همان‌طور که می‌دانیم این معیار بیانگر میزان همواری طیف سیگنال می‌باشد. در رابطه (۴) ضرایب کپستروم سیگنال اصلی را $C_x(k)$ و ضرایب کپستروم سیگنال نهان‌نگاری شده را $C_y(k)$ مینامیم. فاصله $d(c_x, c_y, m)$ بین ضرایب کپستروم فریم m نامیده می‌شود.

جدول (۲): نتایج بررسی آماری الگوریتم پیشنهادی در حوزه فرکانس با مقیاس فاصله کپستروم

CDM				دنباله پیام مخفی
نوع صوت	شکل موج	تمام‌یک	تمام‌صفر	
موسیک با تن بالا		$4,542 * 10^{-4}$	$6,431 * 10^{-4}$	$7,321 * 10^{-4}$
موسیک با تن ملايم		$4,554 * 10^{-5}$	$7,338 * 10^{-5}$	$2,456 * 10^{-5}$
گفتار زن		$7,342 * 10^{-4}$	$5,331 * 10^{-4}$	$7,222 * 10^{-4}$
گفتار مرد		$5,331 * 10^{-3}$	$6,324 * 10^{-3}$	$7,342 * 10^{-3}$
موسیک تن بالا با گفتار مرد		$1,442 * 10^{-4}$	$1,322 * 10^{-3}$	$4,342 * 10^{-4}$
موسیک تن پایین با گفتار مرد		$1,349 * 10^{-4}$	$1,0008 * 10^{-3}$	$4,231 * 10^{-4}$
موسیک تن بالا با گفتار زن		$5,221 * 10^{-3}$	$1,541 * 10^{-4}$	$3,837 * 10^{-3}$
موسیک تن پایین با گفتار زن		$8,324 * 10^{-3}$	$9,534 * 10^{-3}$	$8,874 * 10^{-3}$
مختلط		$2,635 * 10^{-3}$	$8,333 * 10^{-3}$	$7,612 * 10^{-4}$

به شکل رابطه (۵) بوده که نتایج بررسی طبق جدول (۳) به دست آمده است:

$$\text{COSH} = \int_{-\pi}^{\pi} \left[\frac{1}{2} \left(\frac{Y(w)}{X(w)} + \frac{X(w)}{Y(w)} \right) - 1 \right] \frac{dw}{2\pi} \quad \text{و} \quad \text{IS} = \int_{-\pi}^{\pi} \left(\log \frac{Y(w)}{X(w)} + \frac{X(w)}{Y(w)} - 1 \right) \frac{dw}{2\pi} \quad (5)$$

همان‌طور که از متوسط معیار محاسبه شده در جدول (۲) به نظر می‌رسد، فایل‌های صوتی به فرم موزیک با تن (بلندی) ملایم کم‌ترین تغییرات را در معیار همواری صوت دارد. این امر بدین خاطر است که موزیک با تن ملایم همواری ملایمی دارد. فاصله ایتاکورا-سایتو ISD و فاصله COSH معیار ایتاکورا-سایتو: میزان طیف توان سیگنال نهان‌نگاری شده و سیگنال اصلی را محاسبه می‌کند و COSH نسخه‌ی متقارنی از فاصله ISD می‌باشد. فرمول آن‌ها

جدول (۳): نتایج بررسی فاصله ایتاکورا - سایتو

ISD	COSH	معیار	
یکی در میان یک و صفر	تمام‌اً صفر	تمام‌اً یک	دبیله پیام مخفی نوع صوت
-۳,۰۱۴ -۱,۲۳۳	-۲,۵۳۱ -۲,۹۸۸	-۲,۳۶۱ -۳,۵۶۸	موزیک با تن بالا
-۱۰,۳۴۴ -۸,۳۴۲	۶,۲۳۱ -۳,۲۲۵	۶,۲۴۷ ۷,۴۳۲	موزیک با تن ملایم
۱۵,۵۶۷ ۸,۳۳۲	-۱,۲۲۵ -۱,۸۸۶	-۱,۲۴۵ ۰,۱۱۱	گفتار زن
۲۰,۱۳۴ ۷,۰۰۱	-۲۱,۷۸۸ -۲۳,۸۴۴	-۲۳,۲۲۷ ۱۲,۶۳۵	گفتار مرد
-۴,۵۲۱ -۱,۳۲۴	-۱,۳۴۹ -۱,۲۳۱	-۱,۴۶۳ -۱,۱۶۵	موزیک تن بالا با گفتار مرد
-۱۷,۰۲۳ -۳,۲۲۳	۱۲,۱۴۵ ۷,۳۲۱	۱۲,۲۷۴ ۷,۲۴۱	موزیک تن پایین با گفتار مرد
-۱۵,۳۳۶ -۶,۲۴۲	-۳,۱۹۵ -۱,۴۵۹	-۴,۵۴۹ -۵,۳۲۸	موزیک تن بالا با گفتار زن
-۱,۴۳۸ -۴,۵۴۸	-۱,۴۳۴ -۱,۶۵۶	-۱,۵۱۹ -۱,۵۵۸	موزیک تن پایین با گفتار زن
۷,۷۵۲ ۵,۹۵۳	-۷,۲۲ -۲,۹۸۲	-۵,۳۲۶ -۳,۶۵۲	مختلط

مختلف محاسبه می‌کند. جدول (۴) نتایج بررسی این معیار را نشان می‌دهد.

تبدیل رادون یک سیگنال در واقع تصویر کردن سیگنال مورد نظر در زاویه مورد نظر می‌باشد. بنابراین این معیار فاصله میزان تشابه تبدیل فوریه سیگنال را با چرخش‌های متفاوت آن در زوایای

جدول (۴): نتایج بررسی معیار تبدیل فوریه- رادون زمان کوتاه

معیار	درجه ۴۵	تماماما صفر	یکی در میان یک و صفر	درجه ۹۰
نوع صوت	دنباله پیام مخفی	تماماما یک	تماماما یک و صفر	
موزیک با تن بالا	$3,940 \times 10^{-3}$	$0,0101$	$0,0108$	$2,972 \times 10^{-3}$
موزیک با تن ملايم	$0,0113$	$0,0154$	$0,0122$	$9,928 \times 10^{-3}$
گفتار زن	$7,482 \times 10^{-3}$	$0,018$	$0,0117$	$8,007 \times 10^{-3}$
گفتار مرد	$0,0234$	$0,0032$	$0,0178$	$1,770 \times 10^{-3}$
موزیک تن بالا با گفتار مرد	$7,07 \times 10^{-3}$	$3,838 \times 10^{-3}$	$8,223 \times 10^{-3}$	$4,992 \times 10^{-3}$
موزیک تن پایین با گفتار مرد	$0,1002$	$0,0123$	$9,231 \times 10^{-3}$	$1,435 \times 10^{-3}$
موزیک تن بالا با گفتار زن	$3,219 \times 10^{-3}$	$0,864 \times 10^{-3}$	$6,192 \times 10^{-3}$	$0,0012$
موزیک تن پایین با گفتار زن	$0,0103$	$0,0024$	$6,329 \times 10^{-3}$	$2,341 \times 10^{-3}$
مختلط	$9,332 \times 10^{-3}$	$3,291 \times 10^{-3}$	$9,034 \times 10^{-3}$	$4,469 \times 10^{-3}$
		$5,086 \times 10^{-3}$	$7,542 \times 10^{-3}$	$6,250 \times 10^{-3}$
		$3,331 \times 10^{-3}$	$9,034 \times 10^{-3}$	

نمودار آستانه شنوایی سطح آستانه به ازای فرکانس‌های مختلف میزانی متفاوت دارد. بنابراین در صورتی که میانگین تبدیل رادون یک سیگنال به صفر نزدیک باشد به مفهوم این است که سیگنال مورد آزمون از همواری نسبتاً یکنواختی برخوردار است. در مثال جدول (۷) با توجه با این که تمامی ضرایب در یک رنج و نزدیک به مقدار صفر می‌باشند، می‌توان این نتیجه را گرفت که افزایش پیام مخفی تاثیر چندانی در ایجاد اغتشاش در حوزه فرکانس ندارد.

بررسی آماری الگوریتم پیشنهادی در حوزه ادراک معیار MBSDF و BSD: طبق بحث‌های قبل، معیار BSD بر پایه محاسبه اختلاف دامنه بین دو سیگنال در حوزه طیف بارک^۱ می‌باشد. بر اساس مدل فیزیوآکوستیک^۲، طیف فرکانسی صوت به

^۱ طیف بارک یک تقسیم‌بندی فرکانسی است که با توجه به مدل مطلق شنوایی محدوده فرکانسی صوت را به نواحی بحرانی مختلفی تقسیم می‌نماید.

² Physioacoustic

با توجه به خصوصیت الگوریتم تبدیل رادون و این که تبدیل رادون سیگنال داده شده را به فضایی با زاویه داده شده تبدیل می‌کند، نمونه‌های جدید به فضایی با بردار واحد وابسته نگاشته می‌شوند. به عبارت دیگر در این فضای جدید می‌توان میزان پراکندگی نمونه‌ها را صرف نظر از وابستگی بردارهای پایه نسبت به یکدیگر به دست آورد. با توجه به در نظر گرفتن دو زاویه ۴۵ درجه و ۹۰ درجه برای تبدیل رادون، بدین صورت می‌توان در مورد سیگنال‌های مورد آزمایش بحث نمود که با این آزمون می‌توان میزان پراکندگی سیگنال را حول دامنه صرف به دست آورد. در ادامه با توجه به این که سیگنال استفاده شده در تبدیل رادون، ضرایب تبدیل فوریه سیگنال صوتی می‌باشد، مفهوم این آزمون به معنی اندازه گیری میزان فرکانس‌های سیگنال با دامنه کوچک می‌باشد. این معیار تا حدی مشابه معیار اندازه گیری تن‌های زیر سطح آستانه شنوایی می‌باشد با این تفاوت که در

(بلندی) با توجه به باند فرکانسی متناظر با آن دارای سطح تاثیر شناوی متفاوت می‌باشند. بنابراین برای هر زیر باند وزن خاصی با توجه به طیف فرکانسی متناظر با آن نسبت می‌دهند. وزن هر زیر باند با توجه به سطح آستانه بارک و سطح دامنه سیگنال تعیین می‌گردد. رابطه محاسبه معیار MBSD طبق رابطه (۷) است:

$$MBSD = \sum_{k=1}^C M(i) D_{xy}(i) \quad (7)$$

که $M(i)$ وزن‌های اختصاص داده شده به هر زیر باند است. نتایج این دو روش در جدول (۵) آورده شده است.

نواحی با زیر باندهای تقسیم می‌شود که سطح بلندی شناوی در آن نواحی متفاوت می‌باشد. برای محاسبه معیار BSD، طیف فرکانسی صوت مورد نظر را متناظر با طیف بارک، ناحیه‌بندی کرده و سپس فاصله اقلیدسی میان مجموعه مولفه‌های فرکانسی سیگنال اصلی با سیگنال نهان نگاری شده در آن نواحی محاسبه می‌شود. فرمول محاسبه آن طبق رابطه (۶) است:

$$D_{xy} = |S_x(i) - S_y(i)| \quad (6)$$

که S طیف توان زیر باند مورد نظر می‌باشد.

تنها تفاوت معیار MBSD با BSD در نسبت دادن وزن‌های متفاوت به هر زیر باند می‌باشد. با توجه به این موضوع که هر تن

جدول (۵): نتایج بررسی معیار BSD و MBSD

معیار	BSD	MBSD	
نوع صوت	تماماً یک	تماماً صفر	یکی در میان یک و صفر
موزیک با تن بالا	۰,۲۵۲۱	۰,۱۰۳۵	۰,۰۹۵۲
موزیک با تن ملایم	۰,۲۰۵۷	۰,۰۵۰۶	۰,۰۲۷۱
گفتار زن	۰,۱۲۲۹	۰,۲۹۰۱	۰,۱۰۲۱
گفتار مرد	۰,۰۹۳۲	۰,۱۱۱۳	۰,۰۲۴۳
موزیک تن بالا با گفتار مرد	۰,۰۹۲۷	۰,۰۹۵۰	۰,۱۱۹۸
موزیک تن پایین با گفتار مرد	۰,۰۰۲۷	۰,۴۳۲۲	۰,۰۰۳۲
موزیک تن پایین با گفتار زن	۰,۰۰۱۵	۰,۰۰۲۸	۰,۳۷۲۱
موزیک تن پایین با گفتار زن	۰,۰۰۱۱	۰,۰۰۲۸	۰,۰۹۹
موزیک تن پایین با گفتار مرد	۰,۰۰۵۱	۰,۰۰۱۴	۰,۰۱۳
موزیک تن بالا با گفتار زن	۰,۰۳۴۶	۰,۱۷۶	۰,۰۱۳
موزیک تن پایین با گفتار زن	۰,۰۰۱۶	۰,۰۱۱	۰,۰۹۸
مختلط	۰,۰۰۸۲	۰,۲۲۸	۰,۰۱۰
	۰,۰۰۶۷	۰,۱۱۴۳	۰,۱۱۹
	۰,۲۹۰	۰,۱۹۲	۰,۰۰۶۴
			۰,۰۲۲
			۰,۰۲۹

گرفت که درج پیام مخفی درون سیگنال حامل علاوه بر این که در حوزه فرکانس اغتشاش وارد نمی‌کند، بلکه خاصیت سطح آستانه شناوی صوت را نیز بهم نمی‌زند. همانطور که از جدول بالا پیداست الگوریتم پیشنهادشده طیف فرکانسی سیگنال صوتی را چندان تغییر نمی‌دهد و همچنین از خاصیت سطح آستانه

آزمون BSD و MBSD مشابه آزمون اندازه‌گیری STFR است. اندازه‌گیری میزان اغتشاش سیگنال در حوزه فرکانس می‌باشد. با این تفاوت که در معیار MBSD یا BSD طیف فرکانسی از فیلتر سطح آستانه شناوی عبور داده می‌شود. در صورتی که معیار MBSD یا BSD به مقدار صفر نزدیک باشد می‌توان این نتیجه را

حوزه زمان نیز دارد. کمترین SNR مربوط به موزیک تن بالا با گفتار زن می‌باشد که دارای SNR ای در حدود ۱۳ dB می‌باشد. دلیل این نتیجه می‌تواند به علت اغتشاش شدید زمانی سیگنال مربوطه باشد.

فاصله سزا-کوشی CZD: این معیار که فرمول آن در رابطه (۶) آورده شده است، یک همبستگی بر پایه استاندارد متربک است که به طور مستقیم بردار نمونه‌ها را در حوزه‌ی زمان مقایسه می‌کند. این معیار، میزان شباهت بین دو سیگنال را اندازه‌گیری می‌کند.

$$C = \frac{1}{K} \sum_{i=0}^{K-1} \left(1 - \frac{2\min(x(i), y(i))}{x(i) + y(i)} \right) \quad (6)$$

نتایج این آزمون در جدول (۷) آورده شده است.

جدول (۷): نتایج بررسی فاصله سزا-کوشی

معیار CZD				
یکی در میان یک و صفر	تماماً صفر	تماماً یک	مخفي	دنبله پیام
				نوع صوت
-۰.۰۰۲۴	-۱.۱۴*۱۰⁻۳	-۲.۳۲*۱۰⁻۳	موزیک با تن بالا	
۰.۱۶۳۴	-۰.۰۵۲۸	.۶۱۹۲	موزیک با تن ملایم	
-۰.۴۶۲۱	.۰۰۳۴۴۳	.۷۵۴۴۲	گفتار زن	
۰.۱۰۳۲	.۰۰۱۵۴	-۰.۰۰۹۵	گفتار مرد	
-۰.۰۱۸۳۰	.۰.۰۹۷۳	-۸.۳۴*۱۰⁻۳	موزیک تن بالا با گفتار مرد	
۰.۱۹۳۹	-۰.۱۲۴۸	.۰.۱۰۲۲	موزیک تن پایین با گفتار مرد	
.۰.۰۲۷۷	.۰.۰۲۱۴	.۹.۲۷۳۱*۱۰⁻۴	موزیک تن بالا با گفتار زن	
-۰.۰۰۹۸۵	-۰.۰۰۱۳۶	-۰.۰۰۶۵۷	موزیک تن پایین با گفتار زن	
۱.۴۳*۱۰⁻۴	-۸.۳۷۷*۱۰⁻۴	.۰.۰۲۲۳	مختلط	

در این معیار در صورتی که دو سیگنال مورد آزمون یکسان باشند، مقدار این معیار برابر با صفر خواهد شد. این معیار به بررسی تک تک عناصر دو سیگنال مورد آزمون نسبت به یکدیگر می‌پردازد. همانطور که از رابطه بالا پیداست در صورتی که مولفه‌های سیگنال نهان‌نگاری شده اختلاف کمی با مولفه‌های سیگنال اصلی داشته باشند، میزان این معیار به سمت صفر میل می‌کند. با توجه به جدول بالا می‌توان دریافت که الگوریتم پیشنهادی در حوزه زمان اغتشاش چندانی را نیز بر سیگنال صوتی متholm نمی‌کند. از نتایج حاصله در جدول بالا می‌توان دریافت که با انتخاب سیگنال صوتی با گفتار زن بدترین حالت درج پیام مخفی را خواهیم داشت. زیرا در سیگنال گفتار زن همواری خواصی محسوس است. بنابراین با درج پیام مخفی در این نوع سیگنال صوتی، تا حدودی این فرم یکنواختی از بین خواهد رفت و با توجه به مقایسه شدن مولفه به مولفه دو سیگنال اصلی و سیگنال حاوی پیام مخفی، میزان معیار CZD افزایش می‌یابد.

شنوایی پیروی می‌کند. علت این امر نیز واضح می‌باشد زیرا الگوریتم پیشنهادی بر روی سیگنال صوتی اعمال شده است که حاصل خروجی تبدیل SNR MP3 می‌باشد. بنابراین سیگنال صوتی مبرا از داده‌هایی است که درون سطح آستانه شنوایی قرار می‌گیرند. همچنین با توجه به جدول بالا موزیک تن بالا با گفتار مرد دارای بهترین نتایج می‌باشد. زیرا با توجه به ساختار فرکانسی این نوع سیگنال‌ها، تن‌هایی با دامنه کوچک و یا غیر تن کمتر در طیف سیگنالی آن‌ها موجود می‌باشد. بنابراین از هر جهت مساعد با ساختار طیف بارک می‌باشد.

معیارهای حوزه زمان

نسبت سیگنال به نویز SNR: معیار SNR معروف‌ترین مقیاس اندازه‌گیری اغتشاش در حوزه‌ی زمان می‌باشد که سیگنال اصلی و سیگنال نهان‌نگاری شده را نمونه به نمونه با یکدیگر مقایسه می‌کند. این معیار حاوی اطلاعاتی در مورد اغتشاشات جمع شونده برروی سیگنال ایستان می‌باشد. رابطه محاسبه SNR طبق رابطه (۸) است.

$$SNR = 10 \log_{10} \frac{\sum_{i=1}^N x^2(i)}{\sum_{i=1}^N (x(i) - y(i))^2} \quad (8)$$

نتایج این روش در جدول (۶) آورده شده است.

جدول (۶): نتایج بررسی نسبت سیگنال به نویز

معیار SNR				
یکی در میان یک و صفر	تماماً صفر	تماماً یک	دنبله پیام مخفی	نوع صوت
۲۰.۰۰۱۰	۲۰.۱۹۰۰	۲۲.۲۰۱۰	موزیک با تن بالا	
۱۹.۹۶۴۲	۱۹.۳۱۴۳	۱۸.۷۲۰۵	موزیک با تن ملایم	
۲۰.۱۷۸۲	۲۰.۶۵۰۱	۲۰.۳۲۹۱	گفتار زن	
۱۳.۰۲۲۲	۱۱.۹۳۸۸	۱۵.۸۱۲۰	گفتار مرد	
۱۷.۳۴۲۱	۱۴.۹۵۲۶	۱۸.۱۲۱۱	موزیک تن بالا با گفتار مرد	
۱۵.۳۰۷۵	۱۶.۹۲۳۱	۱۷.۲۳۲۰	موزیک تن پایین با گفتار مرد	
۱۴.۹۷۷۳	۱۴.۳۴۷۲	۱۳.۳۸۳۹	موزیک تن بالا با گفتار زن	
۲۱.۳۲۶۵	۲۲.۸۸۲۴	۱۹.۶۲۰۵	موزیک تن پایین با گفتار زن	
۱۴.۹۹۳۸	۱۶.۸۸۷۲	۱۵.۲۳۷۷	مختلط	

با توجه به رابطه SNR که در بالا ذکر شده است، مفهوم SNR بدین معنی است در صورتی که سیگنال نهان‌نگاری شده شدیداً در حوزه زمان مورد اغتشاش واقع شود فاصله آن تا سیگنال اصلی بسیار زیاد خواهد شد. بنابراین مخرج کسر رابطه SNR دچار رشد فزاینده‌ای می‌شود. در این صورت مقدار SNR به سمت صفر و حتی منفی بی‌نهایت میل می‌کند. بنابراین هرچه در این معیار میزان SNR بیشتر باشد، دلیل بر تطبیق بیشتر سیگنال اصلی با سیگنال نهان‌نگاری شده دارد. با توجه به نتایج جدول بالا این نتیجه را می‌توان گرفت که الگوریتم پیشنهادی نتایج مطلوبی در

- and Systems, Hiroshima, Japan, pp. 473-480, 1996. doi: 10.1109/MMCS.1996.535015.
- [3] Cvejic, Nedeljko, "Algorithms For Audio Watermarking and Steganography, 2004.
- [4] S. S. Agaian, D. Akopian, O. Caglayan, and S. A. D'Souza, "Lossless Adaptive Digital Audio Steganography," Conference Record of the Thirty-Ninth Asilomar Conference on Signals, Systems and Computers, 2005., Pacific Grove, CA, USA, pp. 903-906, 2005. doi: 10.1109/ACSSC.2005.1599886.
- [5] W. C. CHU, "Speech Coding Algorithms-Foundation and Evaluation of Standardized Coder, 2003.
- [6] J. Herre and S. Dick, "Psychoacoustic Models for Perceptual Audio Coding—A Tutorial Review," Applied Sciences, vol. 9, no. 14, p. 2854, Jul. 2019, doi: 10.3390/app9142854.
- [7] J. M. Shapiro, "Embedded image coding using zerotrees of wavelet coefficients," in IEEE Transactions on Signal Processing, vol. 41, no. 12, pp. 3445-3462, Dec. 1993, doi: 10.1109/78.258085.
- [8] V. Ralph Algazi and Robert R. Estes Jr. "Analysis-based coding of image transform and subband coefficients", Proc. SPIE 2564, Applications of Digital Image Processing XVIII, 22 August 1995.
- [9] K. L. Narashimhprasad, M. V. Nagabhushanam, V. V. Satyanarayana Tallapragada, and J. Krishna Sunkara, "Embedded Zero-Tree Wavelet Coding with Selective Decomposition Bands," 2019 International Conference on Communication and Signal Processing (ICCSP), Chennai, India, pp. 0445-0449, 2019. doi: 10.1109/ICCSP.2019.8698062.
- [10] J. Antonio Alvarez-Cedillo, T. Alvarez-Sanchez, M. Aguilar-Fernandez, and J. Sandoval-Gutierrez, 'Many-Core Algorithm of the Embedded Zerotree Wavelet Encoder', Coding Theory. IntechOpen, Mar. 11, 2020. doi: 10.5772/intechopen.89300.
- [11] Rekik, Siwar et al. "Speech steganography using wavelet and Fourier transforms." EURASIP Journal on Audio, Speech, and Music Processing, pp. 1-14, 2012.
- [12] H. Inoue, A. Miyazaki, A. Yamamoto, and T. Katsura, "A digital watermark based on the wavelet transform and its robustness on image compression," Proceedings 1998 International Conference on Image Processing. ICIP98 (Cat. No.98CB36269), Chicago, IL, USA, vol. 2, pp. 391-395, 1998. doi: 10.1109/ICIP.1998.723388.
- [13] Z. Xu, K. Wang, and X. -h. Qiao, "Digital Audio Watermarking Algorithm Based on Quantizing Coefficients," 2006 International Conference on Intelligent Information Hiding and Multimedia, Pasadena, CA, USA, 2006, pp. 41-46, doi: 10.1109/IIH-MSP.2006.265115.
- [14] Xiang, Shijun, Hyoung Joong Kim, and Jiwu Huang. "Audio watermarking robust against time-scale modification and MP3 compression." Signal Processing 88.10, pp. 2372-2387, 2008.
- [15] M. Baziyad, et al., "Maximizing embedding capacity for speech steganography: a segment-growing approach," Multimedia Tools and Applications, vol. 80, pp. 24469-24490, 2021.
- [16] F. J. Farsana and K. Gopakumar, "Speech encryption algorithm based on nonorthogonal quantum state with hyperchaotic keystreams." Advances in Mathematical Physics 2020, pp. 1-12, 2020.
- [17] A. Kuznetsov, et al., "Direct Spread Spectrum Technology for Data Hiding in Audio," Sensors 22.9, 3115, 2022.

۴- نتیجه‌گیری

- الگوریتم نهان‌نگاری باستی مناسب طراحی شود و ضمن هنر حفظ سیگنال پوشانه، در صورت حمله، سیگنال مخفی آن نیز آشکار نشود. در الگوریتم پیشنهادی این موضوعات وجود دارد و بهطور کلی نتایج و ویژگی‌های زیر در آن بهدست آمده است:
- پایداری الگوریتم پیشنهادی، در برابر نویز سفید نرمال بیشتر از نویز یکنواخت است و در برابر SNR های بالاتر از 10db نرخ بیت خطای کمتر از ۱ بیت دارد.
 - در صورت حمله به الگوریتم پیشنهادی، با توجه به BER بهدست آمده، آشکارسازی پیام مخفی کاملاً تصادفی شده و سیگنال مخفی کاملاً تخریب می‌شود.
 - همچنین روش پیشنهادی در برابر اضافه کردن نویز افزایشی به صورت بلوک مقاوم به نظر می‌رسد و مستعد درج پیام مخفی با استفاده از روش الگوریتم پیشنهادی نخواهد بود.
 - نتایج بررسی آماری الگوریتم پیشنهادی در حوزه فرکانس با مقیاس فاصله کپسیتروم همان‌طور که از متوسط معيار محاسبه شده در نتایج بهدست آمده، فایل‌های صوتی به فرم موزیک با تن (بلندی) ملایم کمترین تغییرات را در معيار همواری صوت دارد.
 - در الگوریتم پیشنهادی، افزایش پیام مخفی تاثیر چندانی در ایجاد اغتشاش در حوزه فرکانس ندارد.
 - الگوریتم پیشنهادشده طیف فرکانسی سیگنال صوتی را چندان تغییر نمی‌دهد و همچنین از خاصیت سطح آستانه شناوی پیروی می‌کند.
 - همچنین با توجه به نتایج حاصل شده، موزیک تن بالا با گفتار مرد دارای بهترین نتایج می‌باشد بنابراین از هر جهت مساعد با ساختار طیف بارک می‌باشد.
 - الگوریتم پیشنهادی با توجه به جداول (۶) و (۷)، نتایج مطلوبی در حوزه زمان دارد.
 - کمترین SNR مربوط به موزیک تن بالا با گفتار زن می‌باشد که دارای SNR می‌باشد. دلیل این نتیجه می‌تواند به علت اغتشاش شدید زمانی سیگنال مربوطه باشد. با توجه به نتایج حاصل شده، با انتخاب سیگنال صوتی با گفتار زن بدترین حالت درج پیام مخفی را خواهیم داشت.

۵- مراجع

- [1] C. Kratzer, J. Dittmann, T. Vogel and R. Hillert, "Design and evaluation of steganography for voice-over-IP," 2006 IEEE International Symposium on Circuits and Systems, Kos, Greece, p. 4, 2006. doi: 10.1109/ISCAS.2006.1693105.
- [2] L. Boney, A. H. Tewfik, and K. N. Hamdy, "Digital watermarks for audio signals," Proceedings of the Third IEEE International Conference on Multimedia Computing